

## الگوریتم مبتنی بر قدرت تعمیم‌دهی شبکه‌های عصبی برای همگرایی سریع

### الگوریتم ژنتیک در طراحی بهینه‌ی آبرودینامیکی

نعیت‌الله فولادی (کارشناس ارشد)

علیرضا جهانگیریان (دانشیار)

دانشکده‌ی مهندسی هوافضا، دانشگاه صنعتی آمیزکی

در این نوشتار یک الگوریتم بهینه‌سازی ترکیبی، متشکل از الگوریتم ژنتیک و شبکه‌های عصبی در طراحی بهینه‌ی اشکال آبرودینامیکی بر مبنای مدل‌سازی عددی جریان ارائه شده است. در این روش به‌همراه جست‌وجویی حالت بهینه با الگوریتم ژنتیک برازنده‌گی تعدادی از کروموزوم‌های تولید شده در نسل‌های گذشته به یک شبکه‌ی عصبی تعلیم داده می‌شود. سپس با یک راهکار مناسب از علم شبکه‌ی عصبی مزبور و قدرت تعمیم‌دهی آن برای شناسایی کروموزوم‌های برتر در فضاهای طراحی ناشناخته (تعلیم نگرفته توسط شبکه‌ی عصبی) و بازتولید الگوریتم ژنتیک استفاده می‌شود. به این ترتیب با کاهش تعداد ارزیابی‌ها توسط کد CFD، که بخش عمده‌ی زمان محاسباتی کل فرایند بهینه‌سازی را تشکیل می‌دهد، زمان رایانه‌یی مورد نیاز به میزان چشمگیری کاهش می‌یابد. روش ارائه شده در نوشتار حاضر برای طراحی بهینه‌ی مقطع آبرودینامیکی در شرایط جریان حدود صوت مورد استفاده قرار گرفته است. ارزیابی حالت‌های منتخب با حل عددی معادلات اوپلر تراکم پذیر بر روی شبکه محاسباتی بی‌سازمان صورت گرفته و از شیوه‌ی جابه‌جایی خودکار شبکه‌ی محاسباتی به جای تولید مجدد آن استفاده شده است. همچنین برای پارامتری کردن شکل مقطع آبرودینامیکی، از روش PARSEC با ۹ پارامتر هندسی استفاده شده است. نتایج به دست آمده حاکی از آن است که استفاده از روش ترکیبی حاضر منجر به کاهش زمان رایانه‌یی در حدود ۵۰٪ در مقایسه با الگوریتم ژنتیک متداول در طراحی مقطع آبرودینامیکی می‌شود.

#### (به جای مشتق آن)، عدم تداخل پیچیده با کدهای CFD و استفاده‌ی

آسان از پردازشگرهای موازی در طراحی آبرودینامیکی حائز اهمیت است.<sup>[۵]</sup> علی‌رغم مزیت‌های یادشده، طراحی آبرودینامیکی با استفاده از این الگوریتم به لحاظ فراخوانی‌های متعدد کد CFD بسیار زمان بر است. استفاده از اصول پردازشگرهای موازی<sup>[۶]</sup>، طراحی عملگرهای ژنتیکی تطبیقی<sup>[۷]</sup>، و استفاده از راهکار جست‌وجوی تطبیقی<sup>[۸]</sup> از جمله تلاش‌های محققین برای رفع مشکل مزبور به شمار می‌روند.

در تحقیق حاضر از شبکه‌های عصبی تعلیم یافته به منظور شناسایی بعضی از کروموزوم‌های نسل‌های گذشته، برای همگرایی سریع الگوریتم ژنتیک استفاده شده است. پردازش داده‌ها در شبکه‌های عصبی مصنوعی همانند شبکه‌های عصبی زیست‌شناختی به صورت موازی انجام می‌شود؛ از این روش‌ها برای عصبی ابزاری قدرتمند در مدل‌سازی عددی غیرخطی اند. این شبکه‌ها با پردازش داده‌ها، دانش یا قانون نهفته در ورای داده‌های مزبور را به ساختار شبکه منتقل می‌کنند و به همین خاطر به آنها سیستم‌های هوشمند گفته می‌شود. شبکه‌های عصبی در حین یادگیری علم کسب می‌کنند و این علم در داخل وزن‌های اتصالی آنها ذخیره می‌شود.

#### ۱. مقدمه

بهینه‌سازی اشکال آبرودینامیکی با استفاده از حل عددی جریان به دلیل غیرخطی بودن معادلات حاکم بر جریان، ابعاد زیاد فضای طراحی و وقت‌گیر بودن حل معادلات از مسائل دشوار محسوب می‌شود.<sup>[۹]</sup> روش‌های مبتنی بر شبکه تابع هدف از متداول‌ترین روش‌ها در حل مسائل بهینه‌سازی اند. این روش‌ها هرچند در مسائل مختلف بهینه‌سازی به صورت فراگیر مورد استفاده قرار می‌گیرند، در بیشتر مسائل بهینه‌سازی غیرخطی منجر به یافتن بهینه‌ی محلی به جای بهینه‌ی کلی می‌شوند. علاوه بر این، ممکن است در برخی مسائل غیرخطی محاسبه‌ی مشتقات بسیار مشکل یا غیرممکن باشد. در چنین مواردی روش‌هایی مانند الگوریتم‌های تکاملی<sup>[۱]</sup> که نیازی به محاسبه‌ی مشتق تابع هدف ندارند، ارجحیت می‌یابند.<sup>[۲]</sup>

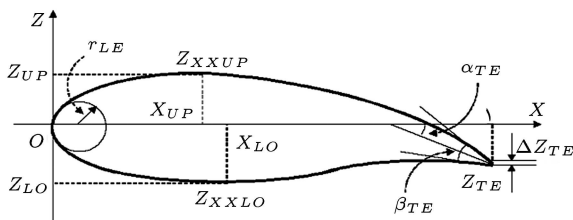
الگوریتم ژنتیک<sup>[۲]</sup> یکی از روش‌های بهینه‌سازی تصادفی است که اخیراً در طراحی آبرودینامیکی شدیداً مورد توجه قرار گرفته است. این الگوریتم برایه‌ی اصل قدرتمند «تکامل» پایه‌گذاری شده و بعضی از پدیده‌های طبیعی مانند وراثت ژنتیکی و نظریه‌ی داروین را برای بقا مدل می‌کند.<sup>[۲]</sup> الگوریتم ژنتیک از نقطه نظر کمینه‌یاب کلی بودن، استفاده از مقدار تابع هدف در تعیین مسیر جست‌وجو

ملاحظات سازه بی در نظر گرفته شده است. برای تبدیل مسئله های بهینه می محدود به حالت غیر مقید از روش تابع جریمه کمک گرفته شده، و با توجه به حساسیت بالای ضخامت جسم آیرودینامیکی در توزیع کمیت های جریان از یک تابع جریمه نمایی استفاده شده است. عبارت نمایی در حالتی که ضخامت بیشینه کمتر از  $12^\circ$  باشد به صورت یک تابع جریمه عمل می کند و طی فرایند بهینه سازی، باعث عدم توقف فرایند جستجو در نواحی غیر قابل قبول می شود. عدد  $10^\circ$  (عددی که به صورت تجربی انتخاب شده است) در عبارت نمایی باعث افزایش اثر عبارت جریمه می شود. طبق تحقیق حاضر، اعمال قیدها در تابع هدف به صورت یک عبارت جریمه، سازگاری بالایی با نحوه کار الگوریتم ژنتیک دارد.

**۲.۲ پارامتری کردن شکل مقطع آیرودینامیکی**  
در ایجاد فضای طراحی پارامتری برای انتخاب مقطع بال بهینه روش های مععددی به کار رفته است که یکی از بهترین نوع آن روش ایروفیل PARSEC است.<sup>[۹]</sup> این روش قادر است دامنه تغییرات بزرگی از اشکال مقطع بال را با تعدادی از پارامترهای هندسی آن نمایش دهد. روش مذکور در تحقیق حاضر برای پارامتری کردن مقطع آیرودینامیکی مورد استفاده قرار گرفته است. در این روش شکل مقطع بال با ترکیب خطی توابع شکل<sup>۳</sup> نوشته می شود:

$$Z = \sum_{n=1}^6 a_n X^{\frac{(n-1)}{4}} \quad (2)$$

که در آن  $X$  و  $Z$  مختصات نقاط مقطع بال و  $a_{n=1,2,\dots,6}$  ضرایب توابع شکل هستند که مقدار آنها به مقادیر پارامترهای هندسی مقطع بال بستگی دارد. در این روش برای مشخص کردن شکل مقطع بال در حدود ۱۱ پارامتر به کار گرفته می شود. شکل ۱ شماتیکی از یک مقطع بال به همراه ۱۱ پارامتر را نشان داده است. مطابق شکل، پارامترها عبارت اند از شعاع لبه حمله ( $R_{LE}$ )، ارتفاع لبه فرار ( $z_{TE}$ )، زاویه ای خط میانی لبه فرار با افق ( $\alpha_{TE}$ )، زاویه ای گوشه لبه فرار ( $\beta_{TE}$ )، مختصات و انحنای بیشترین ضخامت روی سطح بالایی (سه پارامتر  $X_{up}$ ،  $Z_{xxup}$  و  $Z_{up}$ )، مختصات و انحنای بیشترین ضخامت روی سطح پایینی (سه پارامتر  $X_{lo}$ ،  $Z_{xxlo}$  و  $Z_{lo}$ ) و ضخامت لبه



شکل ۱. نمایش پارامتری مقطع آیرودینامیکی<sup>[۹]</sup>.

هدف اصلی تحقیق پیش رو بهبود عملکرد الگوریتم ژنتیکی در طراحی های آیرودینامیکی با حل عددی جریان است. برای روش شدن بیشتر موضوع، الگوریتم پیشنهادی با مثالی از بهینه سازی مقطع آیرودینامیکی ارائه می شود (درینجا طراحی کاربردی مقطع آیرودینامیکی مد نظر نیست). برای این منظور، ابتدا بهینه سازی مقطع آیرودینامیکی با استفاده از الگوریتم ژنتیک متداول و بدون استفاده از شبکه های عصبی ارائه و عملکرد آن بررسی شده است. سپس با نشان دادن توانایی شبکه های عصبی تعلیم گرفته در شناسایی کروموزوم های برازنده تر در فضای طراحی (تعلیم نگرفته) الگوریتم پیشنهادی تشریح می شود. این روش در غالب مسائل بهینه سازی بال الگوریتم ژنتیک شامل فضاهای طراحی بزرگ و ارزیابی های دشوار (وقتگیر) راهگشاست ولی در این نوشتار کاربرد آن در طراحی شکل مقطع آیرودینامیکی با استفاده از حل عددی معادلات اویلر تراکم پذیر در شرایط جریان حدود صوت ارائه شده است. در نهایت، نتایج به دست آمده و زمان محاسبات با نتایج حاصل از روش بدون استفاده از شبکه های عصبی مقایسه شده است.

## ۲. طراحی مقطع آیرودینامیکی با الگوریتم ژنتیک متداول

### ۱.۲ تعریف تابع هدف

انتخاب تابع هدف در طراحی مقطع آیرودینامیکی بستگی زیادی به مأموریت وسایل هوایی دارد و ممکن است یک یا چند نوع تابع هدف در نظر گرفته شود. همچنین تابع های هدف به صورت مقید یا غیر مقید تعریف می شوند. تابع هدف چندگانه قابل تبدیل به یک تابع هدف مقید نند، به طوری که سایر توابع به شکل قید بهینه سازی اعمال می شوند. ضریب لیفت به درگ بیشینه، و همچنین ضریب درگ کمینه از توابع هدف مرسوم در جوامع علمی اند که به طور گسترده در بهینه سازی مقطع آیرودینامیکی مورد استفاده قرار گرفته اند. کلیات بحث ارائه شده در نوشتار حاضر مستقل از نوع یا تعداد تابع هدف است و به خاطر رعایت عمومیت موضوع بهینه سازی در اینجا یک تابع هدف مقید در نظر گرفته می شود.

بیشینه کردن نسبت ضریب لیفت به ضریب درگ تحت قید ضخامت بیشینه مقطع آیرودینامیکی (بزرگ تر از  $12^\circ$ )، هدف طراحی حاضر را شکل می دهد. بنابراین تابع هدف چنین معرفی می شود:

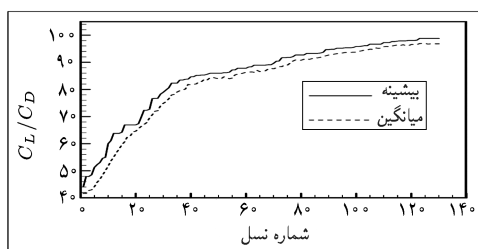
$$\text{تابع هدف} = \begin{cases} \frac{C_L}{C_D} & t_{\max} \geq 12^\circ \\ \frac{C_L}{C_D} e^{1^\circ (t_{\max} - 12^\circ)} & t_{\max} < 12^\circ \end{cases} \quad (1)$$

که در آن  $C_L$ ،  $C_D$  و  $t_{\max}$  به ترتیب ضریب درگ، ضریب لیفت، و بیشینه ضخامت مقطع آیرودینامیکی اند. قید کمینه  $t_{\max}$  به دلیل

کروموزوم صورت گرفته است، به طوری که هر زن یک کروموزوم حالت کد شده (به هنجار بین صفر و ۱) نماینده مقدار یک پارامتر PARSEC است. همان طور که پیش تر اشار شد، در طراحی حاضر از ۹ پارامتر مقطع آیرودینامیکی PARSEC استفاده شده است. اولین عضو جمعیت اولیه مقطع آیرودینامیکی را NACA0012 قرار داده و بقیه را به صورت تصادفی در یک بازه محدود از فضای طراحی در مجاورت آن انتخاب کرده اند. فضای طراحی به همراه مقطع آیرودینامیکی مبنا (NACA0012) مطابق جدول ۱ است. تعداد کروموزوم های هر نسل ۳۰ عدد انتخاب شده است. عملگر انتخاب رقبتی [۱۲]، عملگر ترکیب با یک نقطه تلاقی و احتمال ترکیب ۰/۸۵ و عملگر جهش با احتمال جهش ۱/۰ در یک بازه اغتشاشی مشخص (۱۵/۰) در نظر گرفته شده اند. در تحقیق حاضر از یک روش ابتکاری [۱۳]، که در آن دو عنصر از کروموزوهای بهتر هر نسل بدون هیچ تغییری به نسل بعد منتقل می شوند، برای کمک به همگرایی الگوریتم استفاده شده است. نگارندگان کد بهینه ساز مورد استفاده در تحقیق حاضر را با ساختار یادشده تدوین کرده اند. کد مزبور با طراحی معکوس اشکال آیرودینامیکی مورد ارزیابی قرار گرفته و صحت عمکرد آن تأیید شده است. [۱۴]

## ۵.۲. عملکرد الگوریتم ژنتیک متداول

ابتدا بهینه سازی مقطع آیرودینامیکی با استفاده از الگوریتم ژنتیک متداول با ارزیابی های کد CFD (بدون استفاده از شبکه های عصبی) در شرایط جریان مشخص (زاویه حمله ۲ درجه و عدد ماخ ۰/۷۴) انجام شده است. منحنی های همگرایی تابع هدف برای بهترین و میانگین جمعیت هر نسل بر حسب شماره نسل در شکل ۲ نشان داده شده است. طبق شکل ۲، روند بهینه سازی تا ۱۳۰ نسل ادامه داشته که منجر به یافتن کروموزومی با مقدار تابع هدف برابر با ۹۸ شده است. در تحقیق حاضر زمان لازم برای حل عددی معادلات حاکم بر جریان برای ارزیابی هر کروموزوم (با رایانه شخصی Pentium IV و سرعت ۲/۴GHz) به طور متوسط در حدود ۹۰ ثانیه است. با توجه به این که هر نسل از فرایند بهینه سازی شامل ۳۰ کروموزوم است، کل فرایند بهینه سازی در حدود ۳۵۱۰۰۰ ثانیه (۷۷ ساعت و ۳۰ دقیقه) به طول می انجامد. چنان که تجربه های محاسباتی نشان می دهند، بیش از



شکل ۲. منحنی های همگرایی مقدار تابع هدف.

فرار ( $\Delta Z_{TE}$ ). ضرائب توابع شکل برای هر دسته از مقادیر پارامترهای PARSEC با حل یک سری دستگاه معادلات خطی برای نواحی مختلف مقطع آیرودینامیکی به دست می آیند. نحوه استخراج معادلات مربوطه همراه با روش حل آنها را به شده است. [۱۵] در تحقیق حاضر برای تعریف شکل مقطع آیرودینامیکی و تعیین هندسه آن با فرض  $Z_{TE} = ۹$  پارامتر استفاده شده است.

## ۳.۲. ارزیابی حالت های منتخب

ارزیابی تابع هدف برای حالت های منتخب طرح ۴ در این تحقیق با استفاده از روش حل عددی معادلات حاکم بر جریان غیرلنج تراکم پذیر صورت می گیرد. روش حل عددی معادلات به طور خلاصه روش است مبتنی بر حجم کنترل و اختلاف مرکزی با اضافه کردن عبارت های لزجت مصنوعی درجه ای اول و سوم. [۱۶] همچنین شبکه های محاسباتی بی سازمان در اطراف مقطع آیرودینامیکی مبنا (NACA0012) به روش ریزکردن متوالی <sup>۵</sup> ایجاد شده است. [۱۷] در خلال فرایند بهینه سازی، شکل مقطع های متنوعی ایجاد می شوند و به عبارت دیگر مزه های شکل آیرودینامیکی تغییر می یابند. برای پوشش دادن میدان جریان جدید، باید با یک روش مناسب شبکه های محاسباتی از میدان جریان قبلی بدون تقاطع اصلاح و با حفظ کیفیت شبکه جایه جا شود. روش متداول برای این منظور عمده ای مبتنی بر روش مدل سازی فنر خطی به همراه تدازیری برای جلوگیری از عدم تقاطع اصلاح شبکه در ضمن جایه جایی آن هستند. مدل سازی شبکه با روش سیستم کشش فنری، مخصوصاً عدم تقاطع اصلاح در جایه جایی های بزرگ مزد نیست. نگارندگان با هدف خودکار کردن نحوه جایه جایی شبکه و ایجاد ضمانت بیشتر در عدم تقاطع اصلاح آن راهکار مناسبی ارائه دادند [۱۸] که در تحقیق حاضر نیز از آن استفاده شده است. روش مزبور با تقسیم جایه جایی های نقاط مزدی به گام های کوچک تر و با در نظر گرفتن تغییرات المان های مجاور مزد کرده و از روش های مدل سازی فنر خطی و پیچشی <sup>۶</sup> در جایه جایی نقاط داخل شبکه بهره می گیرد.

## ۴.۲. ساختار الگوریتم ژنتیک

نحوه کد کردن متغیرهای تضمین گیری (نوع ژن)، تولید جمعیت اولیه، انتخاب نوع عملگرهای ژنتیکی، اتخاذ مقادیر مناسب برای متغیرهای الگوریتم ژنتیک (تعداد کروموزوم ها در هر نسل، احتمال جهش، احتمال ترکیب و میزان بازه اغتشاشی در ژهش ژن های هر کروموزوم) و در نظر گرفتن تدازیر و بیزه در همگرایی سریع فرایند بهینه سازی، ساختار الگوریتم ژنتیک را تشکیل می دهند. نحوه انتخاب ساختار جستجوی بهینه با الگوریتم مزبور برای مسائل مختلف متفاوت است و عموماً نیازمند فرایند سعی و خطاب توسط کاربر است.

نحوه کد کردن متغیرهای طراحی با نمایش حقیقی ژن های هر

جدول ۱. مقادیر پارامترهای مقطع آبرودینامیکی مبنای، مرز بالا و مرز پایین.

R <sub>LE</sub>	X <sub>up</sub>	Z <sub>mup</sub>	Z <sub>xxup</sub>	$\alpha_{TE}$	$\beta_{TE}$	X <sub>lo</sub>	Z <sub>lo</sub>	Z <sub>xxlo</sub>	پارامترها
۰,۰۱۵	۰,۳	۰,۰۶	-۰,۴۸	۰,۰	۱۶	۰,۳	-۰,۰۶	۰,۴۸	ایروفیل مبنای
۰,۰۲	۰,۵۵	۰,۰۸	-۰,۳	۲۰	۲۰	۰,۴	-۰,۰۴	۰,۹	مرز بالا
۰,۰۰۸	۰,۲۵	۰,۰۵	-۰,۵۵	۰,۰	۵	۰,۲۵	-۰,۰۷	۰,۳	مرز پایین

- نوع شبکه های عصبی: شبکه های پرسپترون با دو لایه های پنهان و با اتصالات نزونی کامل؛

- تعداد ورودی ها به لایه های ورودی: ۹ (مقادیر ژن های هر کروموزوم)؛

- تعداد خروجی ها: ۱ (مقدار برازنده کروموزوم ورودی)؛

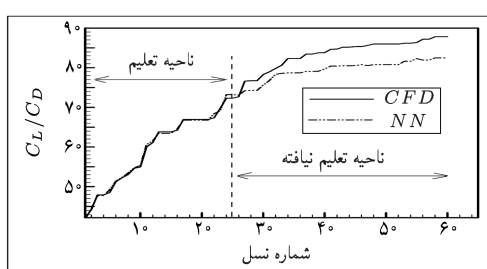
- تعداد نمونه های لایه های مختلف:  $1 \times 5 \times 25 = 125$ ؛

- تابع برازنگیزش نمونه ها: سیگموید تک قطبی.

برای نشان دادن توانایی شبکه های عصبی تعلم یافته در تخمین برازنده کروموزوم های با برازنده کی بالاتر در دو ناحیه های متفاوت (ناحیه های تعلم داده شده و ناچیه های تعلم داده نشده)، برازنده کروموزوم های بهتر در بهینه سازی با الگوریتم رنتیک (بخش ۲) تا نسل ۱۶۰ ام توسط شبکه های عصبی مزبور تخمین زده شده است (شکل ۴). مطابق شکل ۴ شبکه های عصبی در ناچیه های تعلم یافته مقادیر برازنده کروموزوم ها را به خوبی تخمین زده است، اما در ناچیه های تعلم یافته هرچند تخمین خوبی برای مقادیر دقیق برازنده کروموزوم ها ارائه نشده، در بیشتر موارد برازنده کی آنها را نسبت به هم تشخیص داده است. به عبارت دیگر، شبکه های عصبی تعلم یافته قادر است در نواحی جدید بعضی کروموزوم های با برازنده کی بالا را شناسایی کند.

### ۲.۳. الگوریتم پیشنهادی

هدف اصلی الگوریتم جدید شناسایی کروموزوم های برازنده تر در فضای طراحی با صرف زمان رایانه بی کمتر، و نیز کمک به همگرایی سریع فرایند جستجو با الگوریتم رنتیک است. برای این منظور از علم شبکه های عصبی نسبت به برازنش کروموزوم های تولید شده در نسل های گذشته ای الگوریتم رنتیک استفاده شده است. مراحل مختلف الگوریتم یادشده عبارت اند از:



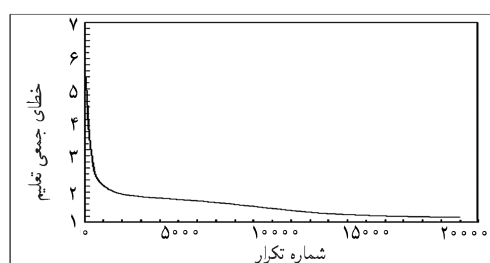
شکل ۴. مقادیر تابع هدف بهترین عضوهای جمعیت طرح.

۹۸٪ زمان محاسبات کل فرایند بهینه سازی اختصاص به روش ارزیابی (CFD) دارد و لذا در این تحقیق هدف اصلی کاهش تعداد مراجعات به کد CFD است.

### ۳. ارائه های روش حل مسئله

۱.۳. بررسی قابلیت های شبکه های عصبی تعلم یافته در صورتی که مقادیر برازنده کی نسل های اولیه در بهینه سازی انجام گرفته در بخش قبلی به یک شبکه های عصبی تعلم داده شود، می توان از رفتار شبکه های عصبی در میزان شناسایی کروموزوم های برازنده تر در نسل های بعدی (تعلیم نگرفته توسط این شبکه) به عنوان پیش زمینه ای ارائه های الگوریتم جدید استفاده کرد.

با استفاده از روش الگوریتم رنتیک مطابق بخش قبل تا نسل ۱۲۵ام در حدود ۷۵۰ کروموزوم توسط کد CFD ارزیابی شده اند. کروموزوم های مزبور به همراه مقدار برازنده کی آنها از طریق الگوریتم یادگیری پس انتشار خطاب به یک شبکه های عصبی تعلم داده شده است. شکل ۳ نشان گر محننی همگرایی خطاب جمعی تعلم است. تعداد لایه های پنهان، تعداد نمونه ها در هر لایه، اتصالات نزونه ها و نوع تابع برازنگیزش آنها ساختار یک شبکه های عصبی را تشکیل می دهند. معمولاً در انتخاب این پارامترها برای مدل سازی مسائل مختلف قاعده های خاصی وجود ندارد، و انتخاب ساختاری مناسب که بتواند با دادگان تعلم کنم، یادگیری و تعمیم دهنده بهتری داشته باشد خود نیاز به سعی و خطای طراح دارد؛ اما شبکه های مصنوعی پرسپترون با دو لایه های پنهان غالباً در مدل سازی آبرودینامیکی مورد استفاده قرار گرفته است.<sup>[۱۶]</sup> براساس تجربه های مؤلفین، ساختار شبکه های عصبی مورد استفاده در فعالیت حاضر عملکرد مناسبی از خود نشان داده که عبارت است از:<sup>[۱۷]</sup>



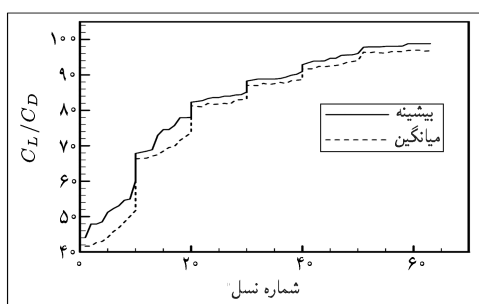
شکل ۳. خطای جمعی تعلم شبکه عصبی.

نسل متولی از جست‌وجوی محلی در کروموزوم‌های برازنده‌تر بهبود قابل توجهی حاصل نشود، جست‌وجوی محلی متوقف شود.

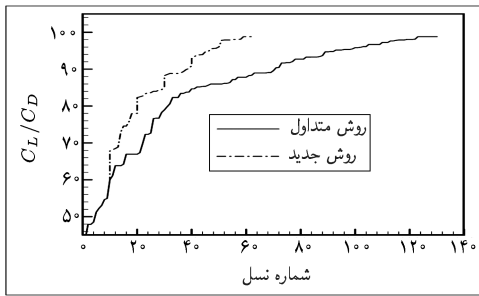
#### ۴. ارزیابی نتایج

در این بخش، فرایند بهینه‌سازی انجام‌گرفته در بخش ۲ مجدداً با بهکارگیری الگوریتم جدید انجام شده است. تعداد نسل‌های جدید در هر بار مراجعت الگوریتم به مراحل ۱ و ۴ از الگوریتم جدید به ترتیب برابر ۱۰ و ۲۰ در نظر گرفته شده‌اند. شکل ۵ منحنی‌های همگرایی مقدار تابع هدف را برای بهترین عضو و میانگین اعضاء جمعیت طرح برحسب شماره‌ی تولید نسل نشان داده است. چنان‌که ملاحظه می‌شود اجرای برنامه‌ی بهینه‌سازی تا تولید نسل ۱۵۸ ام منجر به ظاهرشدن کروموزومی با مقدار تابع هدف ۹۸ شده است. مطابق این شکل، در شماره‌ی نسل‌های ۱۰، ۲۰، ۳۰، ۴۰ و ۵۰ جست‌وجوی محلی با شبکه‌ی عصبی باعث جهشی قابل توجه در روند همگرایی شده است.

شکل ۶ منحنی‌های همگرایی مقدار تابع هدف را با استفاده از الگوریتم ژنتیک متداول و روش جدید مقایسه کرده است. مطابق شکل مذکور و با احتساب زمان لازم برای تعلیم شبکه‌ی عصبی و جست‌وجوهای محلی به منظور شناسایی کروموزوم‌های برگزیده، حدود ۵٪ در زمان کل فرایند بهینه‌سازی صرفه‌جویی شده است. مشخصات مقطع آیرودبینامیکی مبنای NACA0012) و مقطع آیروبینامیکی طراحی شده در جدول ۲ ارائه شده است.



شکل ۵. مقادیر تابع هدف برای بهترین عضوهای جمعیت طرح در الگوریتم ترکیبی.



شکل ۶. مقایسه‌ی منحنی‌های همگرایی دو روش.

۱. روند عادی جست‌وجو با الگوریتم ژنتیک تا یک نسل معین با ارزیابی کد CFD:

۲. تشكیل لیست داده‌ها از کروموزوم‌های جدید ایجاد شده در مرحله‌ی ۱:

۳. تعلیم لیست داده‌های مزبور به یک شبکه‌ی عصبی توسعه الگوریتم یادگیری:

۴. جست‌وجوی محلی با ارزیابی‌های شبکه‌ی عصبی:

۵. تشكیل لیستی از کروموزوم‌های بهتر هر نسل در جست‌وجوی محلی:

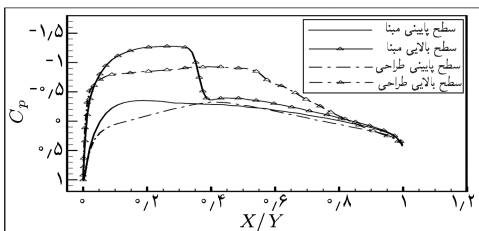
۶. ارزیابی لیست کروموزوم‌های مرحله‌ی قبل توسط کد CFD:

۷. بازتولید نسل‌های جدید با مبنای قرارگرفتن کروموزوم برنده‌ی محلی:

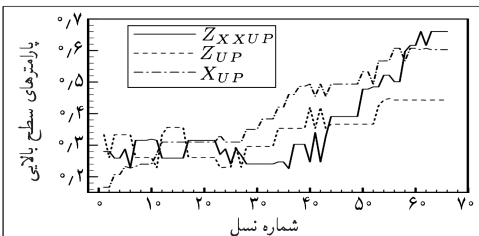
۸. ادامه‌ی جست‌وجو از مرحله‌ی ۱ تکرار می‌شود.

در مرحله‌ی اول، شماره‌ی نسل مزبور ممکن است توسط کاربر معرفی، یا به صورت تابعی از عملکرد خود الگوریتم ژنتیک در نظر گرفته شود؛ به عنوان مثال در چند نسل متولی روند بهبود تابع هدف بسیار کند باشد. در مرحله‌ی دوم لیستی شامل مقادیر ژن‌های هر کروموزم به آن، تهیه می‌شود. در مرحله‌ی سوم ضمن تعذیه مقادیر ژن‌های هر کروموزم به ورودی شبکه‌ی عصبی، مقادیر بازنگری متناظر با آنها برای تصحیح خطای خروجی شبکه عصبی و پس انتشار آن به وزن‌های اتصالی نرون‌ها مورد استفاده قرار می‌گیرد. در مرحله‌ی چهارم، برای شناسایی کروموزوم‌های جدید با بازنگری بالا توسط شبکه‌ی عصبی جست‌وجوی محلی در فضای طراحی مورد نیاز است. با توجه به علم محدود شبکه‌ی عصبی این جست‌وجو با یاری پیرامون دادگان تعلیم صورت گیرد. در تحقیق حاضر، برای این منظور از الگوریتم ژنتیک با همان ساختار قبلی استفاده شده است. کروموزوم‌های آخرین نسل در مرحله‌ی اول به عنوان جمعیت اولیه‌ی الگوریتم ژنتیک در جست‌وجوی محلی قرار داده می‌شوند. این جست‌وجو تا رسیدن به تعداد نسل تعریف شده توسط کاربر ادامه می‌یابد. در مرحله‌ی پنجم، بهترین کروموزوم‌های هر نسل جدید در جست‌وجوهای محلی به عنوان کروموزوم‌های کاندید برای نتیجه جست‌وجوی محلی انتخاب می‌شوند. در مرحله‌ی ششم کروموزوم‌های کاندید با کد CFD ارزیابی می‌شوند تا کروموزوم برنده در جست‌وجوی محلی مشخص شود. در مرحله‌ی هفتم، از کروموزوم برنده به عنوان مبنای بازتولید نسل جدید از کروموزوم‌ها استفاده می‌شود و به این ترتیب با بهبود نسل جدید روند همگرایی بهبود می‌یابد.

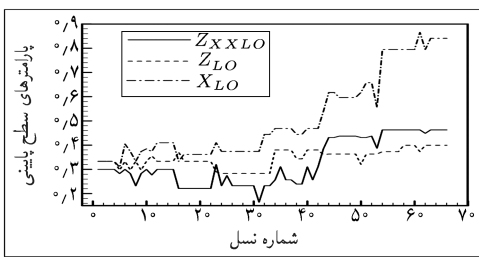
البته برای استقلال بیشتر الگوریتم فوق از تصمیمات کاربر، می‌توان کروموزوم‌های کاندید (بازنده‌تر) هر نسل را در جست‌وجوی محلی به صورت ضمنی، با کد CFD ارزیابی کرد، به طوری که اگر در چند



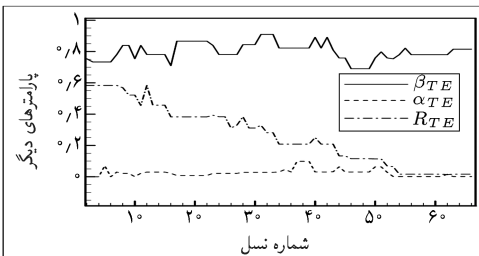
شکل ۹. توزیع فشار بر سطح مقاطع آیرودینامیکی مینا و طراحی.



شکل ۱۰. روند تغییرات پارامترهای مر بوط به سطح بالایی مقاطع آیرودینامیکی برای بهترین های هر نسل.



شکل ۱۱. روند تغییرات پارامترهای مر بوط به سطح پایینی مقاطع آیرودینامیکی برای بهترین های هر نسل.



شکل ۱۲. روند تغییرات پارامترهای مر بوط به لبهی حمله و فرار مقاطع آیرودینامیکی برای بهترین های هر نسل.

طول و انحنای بیشترین ضخامت روی سطح بالایی و طول بیشترین ضخامت روی سطح پایینی تغییرات بیشتری نسبت به سایر پارامترهای طراحی داشته اند و لذا نقش بیشتری در بهینه سازی حاضر ایفا کردند.

## ۵. نتیجه گیری

در تحقیق حاضر از قابلیت شبکه های عصبی در تعلیم نسل های تولید شده بالگوریتم ژنتیک و استفاده از تخمین این شبکه ها در ارزیابی

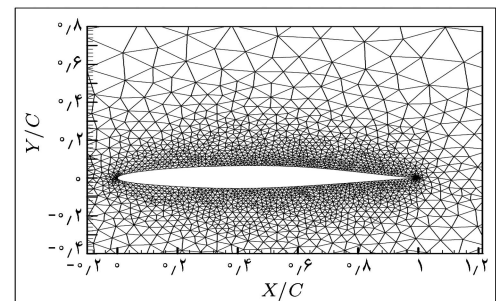
جدول ۲. مشخصات مقاطع آیرودینامیکی مینا و طراحی شده.

مقاطع آیرودینامیکی			
$t_{\max}$	$C_D$	$C_L$	$\frac{C_L}{C_D}$
۰/۱۲	۰,۹۸۴	۰,۳۶۶۷	۳۷,۴۲
۰/۱۲	۰,۰۰۵۲	۰,۵۱	۹۸

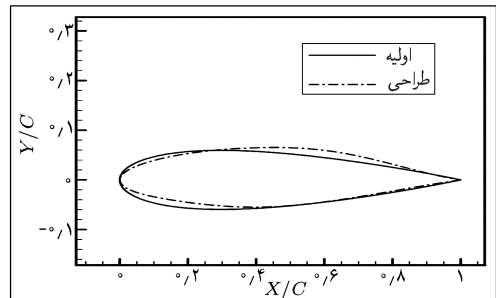
مقاطع آیرودینامیکی نهایی به همراه شبکه های محاسباتی اطراف آن در شکل ۷ ارائه شده است که مطابق آن، شبکه های محاسباتی در اطراف مقاطع آیرودینامیکی نهایی از کیفیت مناسبی برخوردار است. شکل ۸ مقاطع آیرودینامیکی طراحی شده را به همراه مقاطع آیرودینامیکی مینا نشان می دهد. توزیع فشار بر روی سطح مقاطع آیرودینامیکی مینا و مقاطع آیرودینامیکی طراحی شده نیز در شکل ۹ نمایش داده شده است.

چنان که مشاهده می شود، اختلاف توزیع فشار بر سطح مقاطع آیرودینامیکی مینا و طراحی شده به گونه ای است که در مقاطع آیرودینامیکی طراحی شده موج شوک بسیار ضعیف تری روی سطح بالایی تشکیل شده است. روند تغییرات پارامترهای طراحی برای بهترین های هر نسل از الگوریتم ژنتیک، به صورت به هنگار در شکل های ۱۰ تا ۱۲ نشان داده شده است.

در شکل های مذبور مقادیر پارامترها بین صفر و ۱ به هنگار شده اند، به طوری که حد بالا و پایین مقادیر پارامترها در جدول ۱ به ترتیب برای صفر و ۱ در نظر گرفته شده و مقدار حقیقی پارامترها به صورت خطی در این فضای نگاشته شده است. همچنین پارامترهای شعاع لبهی حمله،



شکل ۷. شبکه های محاسباتی در اطراف مقاطع آیرودینامیکی نهایی.



شکل ۸. نمایش مقاطع آیرودینامیکی مینا و طراحی شده.

دیگر، شبکه‌ی عصبی تعلم‌یافته با صرف زمان رایانه‌یی ناچیز نسبت به کدهای CFD، قادر به شناسایی بعضی کروموزوم‌های جدید با برازنده‌ی در بالا است. روش ارائه‌شده برای بهینه‌سازی یک مقطع آیرودینامیکی در شرایط جریان حدود صوت مورد استفاده قرار گرفته و موجب کاهش زمان رایانه‌یی حداقل به میزان ۵۰٪ در کل فرایند بهینه‌سازی شده است.

نسل‌های بعدی به منظور کاهش مراجعه به کد CFD و درنتیجه کاهش زمان رایانه‌یی استفاده شده است. طبق تحقیق حاضر، گرچه شبکه‌ی عصبی تعلم‌یافته قادر به تخمین مقدار دقیق برازنده‌ی کروموزوم‌ها در ناحیه‌های جدید از فضای طراحی (تعلیم‌نیافته) نیست، در بیشتر موارد برازنده‌ی کروموزوم‌ها را نسبت به یکدیگر تشخیص می‌دهد. به عبارت

## پانوشت

1. evolutionary algorithms
2. genetic algorithm
3. shape function
4. design candidates
5. successive refinement method
6. linear and torsional spring analogy methods

## منابع

1. Anderson, W.K. and Venkatarishnan, V. "Aero-dynamic design optimization on unstructured grids with a continuous adjoint formulation", *AIAA Paper 97-0643* (1997).
2. Baysal, O. and Eleshaky, M.E., "Aerodynamic design optimization using sensitivity analysis and computational fluid dynamic", *AIAA Journal*, **30**(3), pp. 718-725 (1992).
3. Hamalainen, J.P.; Makinen R.A.E.; Tarvainen, P. and Toivanen, J. "Evolutionary shape optimization in CFD with industrial applications", *ECCOMAS 2000*, Barcelona, (11-14 September 2000).
4. Goldberg, D.E. "Genetic algorithm in search, optimization, and machine learning", Addison-Wesley, (1989).
5. Oyama, A.; Liou, M.S. and Obayashi, Sh., "Transonic axial-flow blade shape optimization using evolutionary algorithms and three-dimensional navier-stokes solver", *AIAA 2002-5642* (2002).
6. Lanteri, S. "Parallel solutions of compressible flows using overlapping and non-overlapping mesh partitioning strategies", *parallel Comput.*, **22**(7), pp. 943-968 (1996).
7. Lis, J. "Parallel genetic algorithm with the dynamic control parameter", *In Proceeding of IEE International Conference on Evolutionary Computation*, pp. 324-329 (1996).
8. Arakawa, M. and Hagiwara, I. "Development of adaptive real range (ARRange) genetic algorithm", *JSME Intl. J., Series C*, **41**(4), pp. 969-977 (1998).
9. Sobieczky, H., "Parametric airfoils and wings", Recent Development of Aerodynamic Design Methodologies Inverse Design and Optimization, Friedr. Vieweg & Sohn Verlagsgesellschaft, Germany, pp. 72-74, (1999).
10. فولادی، نعمت‌الله. و چهانگیریان، علیرضا. «ارائه یک روش جدید در جایه‌جایی شبکه‌ی سازمان با مرز متحرک». پنجمین کنفرانس انجمن هوافضای ایران، اصفهان، (۱۳۸۲).
11. Stolcis, L. and Johnston, L.J. "Solution of euler equations on unstructured grids for two-dimensional compressible flows", *The Aeronautical Journal*, **94**(936), pp. 181-195 (1990).
12. Jahangirian, A. and Johnston, L.J. "Unstructured grid generation and flow adaptation for external aerodynamic flows", In Numerical Methods for Fluid Dynamics V, Morton K. and Baines M., (Eds), Oxford University Press (1995).
13. Deb, K. "Multi-objective optimization using evolutionary algorithms", John Wiley & Sons, (2001).
14. Davis, L., "Handbook of genetic algorithms", Van Nostrand Reinhold, New York (1990).
15. فولادی، نعمت‌الله. و چهانگیریان، علیرضا. «طراحی معکوس اشکال آیرودینامیکی با مدل سازی عددی جریان و استفاده از الگوریتم ژنتیک». سیزدهمین کنفرانس سالانه‌ی مهندسی مکانیک ایران، اصفهان، (۱۳۸۴).
16. Greenman, R.M.; Stepniewski, S.W.; Jorgensen, C.C. and Roth, K.R. "Designing compact feed-forward neural models with small training data set", *Journal of Aircraft*, **39**(3) (2002).
17. فولادی، نعمت‌الله. «طراحی بهینه ایرفویل با مدل سازی عددی جریان و استفاده از الگوریتم ژنتیک و شبکه‌های عصبی». پایان‌نامه‌ی کارشناسی ارشد، دانشکده‌ی مهندسی هواپیما، دانشگاه صنعتی امیرکبیر، بهار (۱۳۸۳).